

量子コンピュータの回帰問題への適応

name

2024 年 1 月 3 日

1 教師あり学習

機械学習の一種である教師あり学習について述べる。入力データ $\{\mathbf{x}_i\}$ と教師データ $\{f(\mathbf{x}_i)\}$ を用意する。これらのデータを基にパラメータ θ を調節して、 $y_i \simeq f(\mathbf{x}_i)$ となるような出力 $y_i = y(\mathbf{x}_i, \theta)$ を得るのが教師あり学習である。具体的には、教師データ $\{f(\mathbf{x}_i)\}$ と出力 $y_i = y(\mathbf{x}_i, \theta)$ の近さを表す損失関数 $L = \sum_i \|f(\mathbf{x}_i) - y_i\|^2$ を最小化するパラメータ θ をを見つけることを指す。(ここら辺は、普通の機械学習をもうちょっと詳しくやってから加筆)

2 量子コンピュータによる教師あり学習

2.1 量子コンピュータの優位性

量子ビットの状態はベクトル、ゲートは行列によって記述され、1 量子ビットの自由度は 2 である。複数量子ビットの状態は、各量子ビットのテンソル積によって記述されるため、 N 量子ビットを古典コンピュータで再現するとサイズ 2^N の行列を計算する必要がある。したがって、量子回路を古典コンピュータ上で再現し、観測の期待値を求めるには指数的な時間がかかる。対して、量子コンピュータを用いて観測の期待値を求める場合は、求める精度に応じたサンプリングを行えばよい。

つまり、指数オーダーの行列の計算が高速に行えることが期待されているのである。この特徴を、行列を多用するパーセプトロンの計算に用いるのが QCL(Quantum Circuit Learning) である。

2.2 概要

量子コンピュータでの教師あり学習である QCL の概要を図 1 に示す。

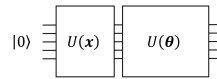


図 1: QCL の回路図

- 入力データ $\{\mathbf{x}_i\}$ に対応する量子状態 $|\psi_{in}\rangle$ を生成する。ただし、 $|0\rangle$ を $|\psi_{in}\rangle$ に変換するユニタリゲートを $U_{in}(\mathbf{x}_i)$ とする。
- パラメータ θ を持つユニタリゲート $U(\theta)$ (変分回路) を入力状態 $|\psi_{in}\rangle$ に作用させて出力状態 $|\psi_{out}\rangle$ をつくる。つまり、 $|\psi_{out}\rangle = U(\theta) |\psi_{in}\rangle$
- 適当な測定を行う。特に射影測定 $\{B_j\} \subset \{I, X, Y, Z\}^{\otimes N}$ を頻繁に用いる。
- 測定量と学習モデルを関連付ける関数 F を用いて、出力 y_i を得る。つまり、 $y(\mathbf{x}_i, \theta) \equiv F(\{\langle B_j(\mathbf{x}_i, \theta) \rangle\})$
- 損失関数 L が最小となるように θ を決定する。

2.3 回転ゲート

変分回路 $U(\theta)$ のパラメータ θ は回転行列 $R_X(\theta), R_Y(\theta), R_Z(\theta)$ の回転角度として与えられる。パウリ行列 P で与えられる回転ゲート $R_P = \exp(-i\frac{\theta}{2}P)$ である。行列表示は、パウリ行列の以下

の性質を用いて、ネイピア数の行列乗の定義に従えば得られる。

$$P^n = \begin{cases} I & (n \text{ is even}) \\ P & (n \text{ is odd}) \end{cases} \quad (1)$$

$$R_P(\theta) = \cos\left(\frac{\theta}{2}\right)I - i \sin\left(\frac{\theta}{2}\right)P \quad (2)$$

2.4 入力状態の具体例 $|\psi_{in}\rangle$

N 量子ビットの量子回路における 1 入力 $x \in [-1, 1]$ の学習について述べる。入力状態の密度行列 $\rho_{in} = |\psi_{in}\rangle \langle \psi_{in}|$ は以下の式の状態とする。

$$\rho_{in}(x) = \frac{1}{2^N} \bigotimes_{i=1}^N \left[I + xX_i + \sqrt{1-x^2}Z_i \right] \quad (3)$$

具体的には、初期状態 $|0\rangle \langle 0|$ の各量子ビットに Y 軸回転ゲート ($\theta = \sin^{-1} x$) を作用させる。

$$R_y(\theta) = \exp\left\{-\frac{i}{2}\theta Y\right\} = \cos\left(\frac{\theta}{2}\right)I - i \sin\left(\frac{\theta}{2}\right)Y \quad (4)$$

$$\rho_{in} = \bigotimes_{i=1}^N R_y(\theta) |0\rangle \langle 0| R_y(\theta)^\dagger$$

密度演算子が ρ のとき、射影測定の測定量 P を測定すると、 $\langle P \rangle = \text{tr}(P\rho)$ である。密度行列 ρ_{in} の状態に対して測定量 $X^{\otimes N}$ を測定すれば、測定の期待値として x^N が得られる。観測の期待値は観測量、変分回路に依存しており、期待値は $x^2\sqrt{1-x^4}$ などの項の和で記述される。

2.5 観測の期待値とその勾配

2.5.1 観測の期待値

量子ビットが密度演算子 ρ で表せるとき、測定演算子が B である射影測定を行うと、その期待値は、 $\langle B \rangle = \text{tr}(B\rho)$ であることが導ける。

変分回路への入力状態の密度演算子を $\rho_{in} = |\psi_{in}\rangle \langle \psi_{in}|$ 、変分回路のパラメータの一

つ θ_i に依存するゲートを $U_i(\theta_i)$ とする。また $U_m U_{m-1} \cdots U_{n+1} U_n \equiv U_{m:n}$ と定義する。

以上より、変分回路への入力状態の密度演算子を $\rho_{in} = |\psi_{in}\rangle \langle \psi_{in}|$ 、変分回路の行列表示が $U_{l:1}$ のとき、変分回路の出力状態における、測定量 B の期待値は、以下の式で表せる。

$$\langle B \rangle = \text{tr}(B U_{l:1} \rho_{in} U_{l:1}^\dagger) \quad (5)$$

2.5.2 観測の期待値の勾配

出力モデル $y_i(\mathbf{x}, \boldsymbol{\theta})$ をパラメータの一つ θ_i で微分した値は、損失関数の最小化の過程において重要である。そのため、観測の期待値 $\langle B \rangle = \text{tr}(B U_{l:1} \rho_{in} U_{l:1}^\dagger)$ をあるパラメータ θ_i で微分した値を導出する。

まず、行列 $M = (a_{ij})$ について、行列の微分を以下の式 (6) で定義する。

$$\frac{dM}{d\theta_i} \equiv \left(\frac{da_{ij}}{d\theta_i} \right) \quad (6)$$

この微分について、以下の性質が行列の積の成分表示より求まる。

$$\frac{d}{d\theta_i} AB = \frac{dA}{d\theta_i} B + A \frac{dB}{d\theta_i} \quad (7)$$

$$\text{tr}\left(\frac{dA}{d\theta_i}\right) = \frac{d}{d\theta_i} \text{tr}(A) \quad (8)$$

$$(9)$$

計算を簡単にするため、以下のように式を略記する、

$$\begin{cases} X = B U_{l:j+1} \\ Y = U_{j-1:1} \rho_{in} U_{j-1:1}^\dagger \\ Z = U_{l:j+1}^\dagger \\ [A, B] = AB - BA \end{cases} \quad (10)$$

以上の性質を用いて、観測値の期待を微分する。なお、 $U_j = \exp(-\frac{i}{2} P_j \theta_j)$ とする。また、指数の行列乗の微分はテイラー展開を用いた定義より導出可

能である。

$$\begin{aligned}
& \frac{\partial}{\partial \theta_i} \text{tr}(BU_{l:1} \rho_{in} U_{l:1}^\dagger) \\
&= \text{tr}\{X \frac{\partial}{\partial \theta_i} (U_j Y U_j^\dagger) Z\} \\
&= \text{tr}\{X (\frac{\partial U_j}{\partial \theta_j} Y U_j^\dagger + U_j \frac{\partial Y}{\partial \theta_j} U_j^\dagger + U_j Y \frac{\partial U_j^\dagger}{\partial \theta_j}) Z\} \\
&= -\frac{i}{2} \text{tr}\{X U_j [P_j, Y] U_j^\dagger Z\} \quad (\because U_j = \exp(-\frac{i}{2} P_j \theta_j))
\end{aligned} \tag{11}$$

ここで、以下の展開公式 (12) を用いる。

$$[P_j, \rho] = i[U_j(\frac{\pi}{2}) \rho U_j^\dagger(\frac{\pi}{2}) - U_j(-\frac{\pi}{2}) \rho U_j^\dagger(-\frac{\pi}{2})] \tag{12}$$

また、 $U_j(\theta_0)U_j(\theta_1) = U_j(\theta_1)U_j(\theta_0)$ であることを用いる。回転ゲート $U_j(\theta_j)$ の固有ベクトルは、回転軸をあらわす状態ベクトルであるため、固有ベクトルが θ_j によらない。また、回転軸は 2 本の線形独立なベクトルで記述される (Z 軸, $|0\rangle, |1\rangle$)。したがって、同時対角化可能であるので、積について可換である。

これらの性質を用いれば、以下の式 (13) が求められる。式 (13) の意味としては、観測値 B をパラメータ θ_j で微分した値は、量子回路の特定の位置に回転ゲートを追加した回路の観測の期待値を求めればよいことが分かる。

$$\begin{aligned}
\frac{\partial \langle B \rangle}{\partial \theta_i} &= \frac{1}{2} \text{tr}(BU_{l:j+1} U_j(\frac{\pi}{2}) U_{j:1} \rho_{in} U_{j:1}^\dagger U_j(\frac{\pi}{2})^\dagger U_{l:j+1}^\dagger) \\
&\quad - \frac{1}{2} \text{tr}(BU_{l:j+1} U_j(-\frac{\pi}{2}) U_{j:1} \rho_{in} U_{j:1}^\dagger U_j(-\frac{\pi}{2})^\dagger U_{l:j+1}^\dagger)
\end{aligned} \tag{13}$$

3 数値計算

3.1 変分回路

変分回路の実装を図 2 に示す。図 2 では、観測が第 0 ビットの Z 基底観測である。

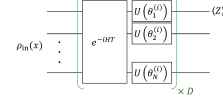


図 2: 変分回路 $U(\theta)$

まず、 e^{-iH} について述べる。 H は、次の式 (14) で表され、 a_j, J_{jk} は $[-1, 1]$ の一様乱数である。

$$H = \sum_{j=1}^N a_j X_j + \sum_{j=1}^N \sum_{k=1}^{j-1} J_{jk} Z_j Z_k \tag{14}$$

e^{-iH} を古典コンピュータで計算する場合は固有値問題となり、効率的には行えない。また、 e^{-iH} は量子ビットを量子もつれ状態にする。なお、 T は 10 である。

$U(\theta_j^{(i)}) (1 \leq j \leq N, 1 \leq i \leq D)$ は、ブロッホ球上の任意軸で任意の角度回転するゲートであり、次の分解 (15) を用いて実装される。

$$U(\theta_j^{(i)}) = R_j^X(\theta_{j1}^{(i)}) R_j^Z(\theta_{j2}^{(i)}) R_j^X(\theta_{j3}^{(i)}) \tag{15}$$

3.2 回帰問題

図 3 のような、 $\sin \pi x$ の入力と出力のデータを一定数与えて、 $\sin \pi x$ を近似する量子回路のパラメータを求める。つまり、 $\sin \pi x \approx \text{tr}((Z \otimes I^{\otimes N-1}) U_{l:1}(\theta) \rho_{in}(x) U_{l:1}^\dagger(\theta))$ となるような、パラメータ θ を求める。

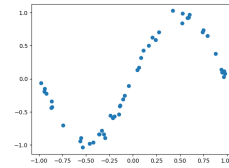


図 3: 教師データ $\sin(\pi x)$

入力状態を作成する回路 $U_{in}(x)$ は、式 (16) で表す。

$$U_{in}(x) = \prod_j R_j^Z(\cos^{-1} x^2) R_j^Y(\sin^{-1} x) \tag{16}$$

今回用いる変分回路は、量子ビット数 $N = 3$ 、図 2 の回路を $D = 3$ 個つなげたものである。パラメータは基本軸回転ゲートの角度であり、回転ゲートが $3Nd$ 個あるので、パラメータは 27 個である。ランダムに初期化した際の、出力結果を図 4 に示す。

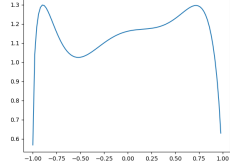


図 4: ランダムな初期値での出力

学習の手順としては、以下の手順で行う。

1. 27 個のパラメータ θ を初期化する。
2. 教師データの入力 \mathbf{x}_{train} より、現在のパラメータの出力 \mathbf{y} を得る。
3. 現在のパラメータの出力と教師データの出力の差である損失関数の値を得る。
4. 勾配を用いる数値最適化手法の BFGS を用いて、2-3 を繰り返しながら、損失関数が最小になる θ を得る。

なお、今回の数値計算に用いた python ライブラリである qulacs の仕様として、 P 軸回転ゲートの角度の正負が反転している。ただし、教師データを含めた全てのパラメータの符号が反転しているため、学習には影響しない。

3.3 結果

学習の結果を図 5 に示す。損失関数の値が小さく、適切なフィッティングが行えていることが図から読み取れる。また、過学習が発生していないことも図から読み取れる。

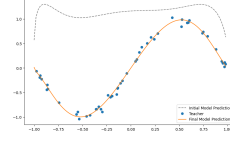


図 5: 最終的なモデルの出力

同じ回路に $\sin(2\pi x)$ を学習された結果を図 6 に示す。図から、適切な回帰が行えているとは言えない。

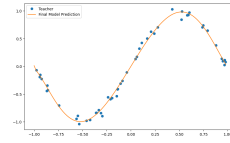


図 6: 近似できていない例

4 考察

4.1 1 量子ビットの場合の出力式

1 量子ビットの学習で得られる近似式を導出する。

1. $R_y(\sin^{-1} x), R_z(\cos^{-1} x^2)$ を x を含んだ行列表現として得る。
2. 最適化されたパラメータ θ_{opt} を代入した各ゲートの行列表現を組み合わせて、変分回路 $U(\theta_{opt})$ を行列表現で求める。
3. 観測値の期待値を求める。

4.1.1 入力状態 $|\psi_{in}\rangle$

変分回路に入力される状態 $|\psi_{in}\rangle = U_{in}(x)|0\rangle$ を求める。簡単化のため、次の略記を用いる。

$$\begin{cases} \alpha = \sqrt{1+x^2} \\ \beta = \sqrt{1-x^2} \\ \gamma = \sqrt{1+\beta} \\ \delta = \sqrt{1-\beta} \\ \epsilon = \frac{x}{|x|} \end{cases} \quad (17)$$

$\theta_1 = \sin^{-1} x, \theta_2 = \cos^{-1} x^2$ について、三角形の半角公式より次の関係が成り立つ。

$$\begin{cases} \sin \frac{\theta_1}{2} = \frac{\epsilon}{\sqrt{2}} \delta \\ \cos \frac{\theta_1}{2} = \frac{1}{\sqrt{2}} \gamma \\ \sin \frac{\theta_2}{2} = \frac{1}{\sqrt{2}} \beta \\ \cos \frac{\theta_2}{2} = \frac{1}{\sqrt{2}} \alpha \end{cases} \quad (18)$$

回転行列の性質である式 (2) より、変分回路への入力状態 $|\psi_{in}\rangle$ は、次の式 (19) で表せる。

$$|\psi_{in}\rangle = \frac{1}{2} \begin{pmatrix} \gamma(\beta + i\alpha) \\ -\epsilon\delta\beta + i\alpha \end{pmatrix} \quad (19)$$

4.1.2 観測の期待値

量子ビット数が 1 のとき、変分回路の行列 M を式 (20) で記述する。各成分がパラメータ θ に依存することに注意する。

$$M = \begin{pmatrix} a_{11} & a_{12} \\ a_{21} & a_{22} \end{pmatrix} \quad (20)$$

今回は、Z 基底測定を行うため、測定の期待値 μ は式 (21) で表せる。

$$\mu = \langle \psi_{in} | M^\dagger Z M | \psi_{in} \rangle \quad (21)$$

式 (19)、(20)、(21) より、観測の期待値 μ は式 (22) で表せる。

$$\mu = A\sqrt{1-x^2} + Bx^3 + C\sqrt{1-x^4} \quad (22)$$

ただし、 A, B, C は式 (23) で記述される実数であり、自由度は 3 であることが分かる。

$$\begin{cases} A = \frac{1}{2}(|a_{11}|^2 + |a_{22}|^2 - |a_{12}|^2 - |a_{21}|^2) \\ B = -\text{Re}(a_{11}a_{12}^* + a_{21}a_{22}^*) \\ C = \text{Im}(a_{11}a_{12}^* + a_{21}a_{22}^*) \end{cases} \quad (23)$$

A, B, C はパラメータ θ に依存する。式 (22) より、学習とは目的関数に最も近い A, B, C を与えるパラメータを求めることであることが分かる。

4.2 N 量子ビットの場合の出力式

4.3 ニューラルネットワークとの比較

本実験で用いている変分回路は、以下の図 7 と等価である。

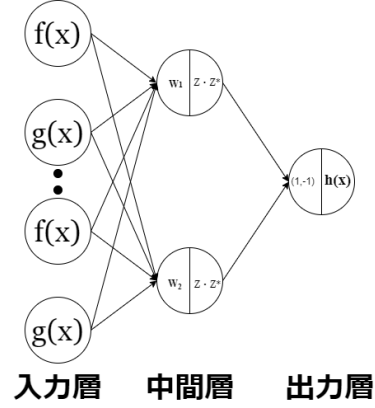


図 7: 変分回路と等価な NN

4.3.1 入力層について

入力層のノード数は、変分回路への入力される状態ベクトル $|\psi_{in}\rangle$ の次元に等しいため、量子ビット数が N のとき、ノード数は 2^N である。今回の実験では、 $N = 3$ であるため、入力層のノード数は 8 である。 $f(x), g(x)$ は、 $U_{in}(x)$ に依存している各量子ビットの成分であり、本実験の場合は以下の式 (24) で表せる。古典 NN との大きな違いとして、 $f(x), g(x)$ は複素関数であることが挙げられる。

$$\begin{cases} f(x) = \frac{1}{2}\sqrt{1 + \sqrt{1-x^2}}(\sqrt{1-x^2} + i\sqrt{1+x^2}) \\ g(x) = \frac{x}{2|x|}\sqrt{1 - \sqrt{1-x^2}}(\sqrt{1-x^2} - i\sqrt{1+x^2}) \end{cases} \quad (24)$$

4.3.2 中間層について

中間層のノード数は、測定が行われる量子ビットの個数の 2 倍であり、今回の実験では、第 0 ビット

のみに測定が行われるため、ノード数は2である。重み $w_i (i = 1, 2)$ は、変分回路 $U(\theta)$ がユニタリ行列であることから、次の式 (25) を満たす。

$$w_i \cdot w_j = \delta_{ij} \quad (25)$$

また、通常の NN の非線形関数の対応として、ノードへの入力の実数値の大きさの2乗をとっている。

4.3.3 出力層

出力層のノード数は、1である。また、出力層の活性化関数は恒等写像である。重みは、観測量に依存している。本実験では観測量が Z 基底であるため、第0ビットの状態ベクトルが $\alpha|0\rangle + \beta|1\rangle$ で記述されるとき、期待値が $|\alpha|^2 - |\beta|^2$ である。したがって、重みは $(1, -1)$ である。

4.3.4 変分回路の自由度

今回の回路では、回路構成として、量子ビット数 $nqubit$ および $U(\theta)$ の内部で図2の回路を直列でつなげる個数である $cdepth$ を変更することが可能である。